

SAND WAVES の発生過程に関する研究

京大 防災研究所 正 茂田和男
大阪府 土木部 正○木村昌弘

はじめに；本研究は砂礫粒子の確率的な運動特性と水流の乱流構造との関連のもとで河床波が形成されることを導くとともに、その構造および成長速度について考察したものである。

発生初期における河床波の構造；河床の砂粒子が流体力を受けて河床から飛び出し、河床近傍の平均流によって下流へ運搬され、ある距離移動して堆積する結果河床に凹凸を生じるが、その変動は、河床近傍の平均流速に乗って観測すれば

$$\frac{\partial \eta}{\partial t} = d_1 \int_{-\infty}^r F(u(m)) f(r-m) dm - d_1 F(u(r)) \quad (1)$$

と表現される。ここに η ：河床高、 $F(u)$ ：流速が $U = u + \alpha$ の時に単位面積の河床から飛び出す砂の体積、 $f(r)$ ：飛び出した粒子の跳躍距離が r による確率密度である。 $F(u)$ 、 $f(r)$ をトルーサー実験から

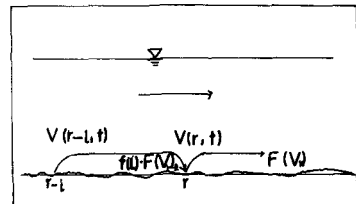


図-1 概念図

$$r \geq 0 : f(r) = \frac{1}{l} e^{-r/l} \quad r < 0 : f(r) = 0 \quad (2)$$

$$U \geq U_c : F(u) = d_2 \frac{U_f}{\sqrt{\beta(\rho-1)g}} (U - U_c) \quad U < U_c : F(u) = 0 \quad (3)$$

とし、これらを(1)式に代入して両辺を上で積分し、 $\nu = r - m$ とおけば

$$\eta = \frac{\beta}{l} \int_0^\infty \int_0^t \{ u(r-\nu) - U_c \} dt e^{-\nu/l} d\nu - \beta \int_0^t \{ u(r) - U_c \} dt \quad (4)$$

となる。ここで $\beta = d_1 d_2 U_f / \sqrt{\beta(\rho-1)g l}$ 、 l ：平均跳躍距離、 U_f ：摩擦速度、 ρ_s 、 ρ ：砂および水の密度、 $d_1 = 1/(1-e)$ 、 e ：空隙率である。 η は確率変量であるから、その特性を知るために、距離 r の 2 点について相關関数を求めれば

$$\begin{aligned} R_\eta(\theta, t) = & \beta^2 \left[\frac{1}{l^2} \int_0^\infty \int_0^\infty \int_0^t \int_0^t R_u(\theta + \nu_1 - \nu_2, \tau) dt_1 dt_2 e^{-\nu_1/l} e^{-\nu_2/l} d\nu_1 d\nu_2 \right. \\ & - \frac{1}{l} \int_0^\infty \int_0^t \int_0^t R_u(\theta + \nu_1, \tau) dt_1 dt_2 e^{-\nu_1/l} d\nu_1 \\ & - \frac{1}{l} \int_0^\infty \int_0^t \int_0^t R_u(\theta - \nu_2, \tau) dt_1 dt_2 e^{-\nu_2/l} d\nu_2 \\ & \left. + \int_0^t \int_0^t R_u(\theta, \tau) dt_1 dt_2 \right] \end{aligned} \quad (5)$$

となる。ここに $R_\eta(\theta, t) = \overline{\eta(r, t) \eta(r+\theta, t)}$ 、 $\tau = t_1 - t_2$
 $R_u(\theta, \tau) = u'(r, t) u'(r+\theta, t_2)$ 、 $u' = u - \bar{u}$ である。

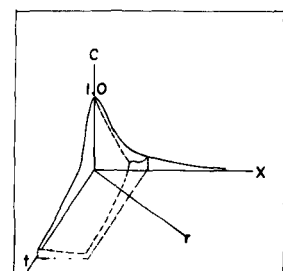


図-2 相関関数

この平均流に乘じた座標系からみた時空間相關関数を

$$R_u(\tau, t) = \overline{U_b^2} e^{-(t-t_0)/L} e^{(-\tau^2/t_0^2)} \quad (6)$$

と表示すれば、(5)式は

$$R_\eta(\tau, t) = \beta^2 \overline{U_b^2} \int_0^t e^{-(t_1-t)^2/L^2} dt_1 dt_2 \left\{ \frac{1}{(1-(L/t_1))^2} e^{(-\tau^2/L^2)} - \frac{1/t_1}{1-(L/t_1)^2} e^{-\tau^2/L^2} \right\} \quad (7)$$

となり、 τ 時間後ににおける河床波の相關関数が得られる。ここに $\pi/2 t_0$: Euler的積分時間スケール； L : 平均流に乘じた座標系からみた河床波の長さスケール（ \approx Lagrange的長さスケール）である。河床波の成長度を示す分散は、

$$R_\eta(0, t) = \beta^2 \overline{U_b^2} \int_0^t \int_0^t e^{-\tau^2/t_0^2} dt_1 dt_2 \left(\frac{L/t_1}{1+(L/t_1)^2} \right) \quad (8)$$

である。また河床波のパワースペクトルは、これをフーリエ変換して

$$S_{R_\eta}(k) = \beta^2 \overline{U_b^2} \int_0^t \int_0^t e^{-\tau^2/t_0^2} \frac{1}{dt_1 dt_2} \left(\frac{1}{1-(\frac{k}{L})^2} \right) \left(\frac{1}{1+(Lk)^2} - \frac{1}{1+(Lk)^2} \right) \quad (9)$$

と1で得られる。この式より $k = 1/\sqrt{L}$ すなわち 波長入 = $2\pi/\sqrt{L}$ において パワースペクトルはピーク値を持つことが分かる。このことは sand waves は発生初期段階においては、入 = $2\pi/\sqrt{L}$ でパワースペクトルのピークを持ち、かつそれは(8)式で与えられる速さで成長していくことを示している。

粒子の跳躍距離 l 、及び乱れスケール L ； 粒子の跳躍距離につけては、多くのトーラー実験から平坦河床において $l = (100 \sim 200) d$ (d : 粒径) という結果が得られている。一方乱れスケールについては実験的あるいは理論的に種々の関数形が発表されているが Englund によって導かれた Euler的スケールの表現を余越による方法を用いて Lagrangeスケールに変換すれば

$$L_p = 0.0615 H \cdot \overline{U_b} / U_* \overline{U_b} / \overline{U_b} \quad (10)$$

となる。ここに H : 水深 $\overline{U_b}$: 河床付近の平均流速 $\overline{U_b}$: 河床付近の乱れ強度 (r.m.s) である。河床近傍において $\overline{U_b} \approx U_* \approx \overline{U_b}$ とおけば $L_p \approx 0.06H$ となる。乱れスケールのもう1つの表現として 河床近傍の長さスケールが粒子配列に支配されるとして導かれた $L_R = k_0 d$ (k_0 : ある定数) を用いれば、これら2つの表現より発生初期におけるピーク波長は、それぞれ $\lambda_{D1} \approx 19.1 \sqrt{H}$ 、 $\lambda_{RI} \approx 6.2 \sqrt{H} d$ となる。河床波が成長し 波峰波凹部下流に形成されるばく離が粒子運動を支配するようになると 粒子の跳躍距離は波床波の波長に対応すると考えられ これに伴なって波長は $\lambda_{D2} = 2\pi/\sqrt{L_{D1}}$ 、 $\lambda_{R2} = 2\pi/\sqrt{L_{RI}}$... と変化し 最終的には初期のまゝには無関係に $\lambda = (2\pi)^2 L$ となる。これが安定時の波長とすれば $\lambda_D = 2.42H$ 、 $\lambda_R = 9.86k_0 d$ となる。これらは Dune の波長は水深に、Ripple のそれは粒径に関係するという経験的な事実と対応しており興味深い。

Sand waves の波長 及びその成長速度；上で導かれた Dune の波長は $2.42H$ であり経験的波長 $5H$ と一致しないが、これは河床近傍の乱れスケールの推定精度によるものと考える。

れ 現状ではやむを得ない。もし 3 級駆動波長から推測して $L = 0.126 H$ とする方が妥当であるとも考えられる。これを用いると $\lambda_{RI} = 27.3 \text{ m}$ $\lambda_D = 5 \text{ m}$ となる。Ripple についても同様に経験波長を用いれば $\lambda_{RI} = 33.5 \text{ m}$ $\lambda_R = 7.50 \text{ m}$ となる。一方河床波の成長速度にノルムでは 乱れの時間スケールに比して河床変動の時間スケールは大きいので ($t \gg t_0$)

$$\int_0^t \int_0^t \exp\{(t_1 - t_2)/t_0\} dt_1 dt_2 = \frac{\pi}{2} t_0 t \quad (11)$$

よ似で $t_{ED} = \sqrt{L}/2 t_0 = 0.15 \text{ H} / U_*$ $t_{ER} = k_0 d / U_*$ を(8)式に代入すれば

$$\beta_1^2 / \beta_2^2 = 4.2 \times 10^{-2} d_2^2 \frac{L}{(1+L/L)} T_E T_R' \quad (12)$$

$$\beta_1^2 / \beta_2^2 = 1.86 K_0^2 d_2^2 \frac{L}{(1+L/L)} T_E T_R' \quad (13)$$

となる。ここに $T_E = t_{ED} / t_{ER}$ $T_R' = t_R / t_{ER}$, $U_* \approx U_b \approx \sqrt{g d}$
 $T_E = U_*^2 / (P_s/p - 1) g d$ である。

定数 α の決定 ; 単位時間に河床の粒子が飛び出する平均確率は(3)式より

$$P_S = d_2' \frac{U_b - U_c}{d} \frac{U_*}{(P_s/p - 1) g d} \quad (14)$$

となる。(左辺、 d と d_2' は粒子の配列により、て若干の差はあるが、ここでは等しいものとする) 矢野^②は粒子のトレー実験より P_S , L を求め、他の実験者の結果も含めて、 $P_S L / (\beta_2^2 - 1)$ と $(U_* - U_{bc}) / g d$ の関係で整理したが、これを $P_S L / (\beta_2^2 - 1) g d \sim U_* (U_* - U_{bc}) / (\beta_2^2 - 1) g d$ で整理し直せば図-3 になる、これより $P_S L = 3.0 U_* (U_* - U_{bc}) / (\beta_2^2 - 1) g d$ なる関係式が得られる。

実験及び解析方法 ; 実験水路は全長 20 m, 1.50 cm の鋼管で水路中央部 9 m は両辺ガラス張である。用いた砂は平均粒径 0.5 mm のほぼ均一砂である。まず砂を厚さ 13 cm に敷き、スクレーパーで所定のミク配にした後、通水し初期水位は 5 分～10 分間隔、通水後 30 分以後は 15 分～30 分間隔で最大 3 時間まで河床の凹凸を計測した。河床の計測は超音波河床測定器を図-4 に示すように台車に固定し、水路に沿って 25 cm/sec で移動させることによつて行った。各実験条件は表-1 に示す通りであり、計測器より出力されるデータは磁気テープに録音し、データ計算機によつて自己相關関数及びパワースペクトルを計算した。なお各データの個数は 1500 本、最大ずれ数 150 本

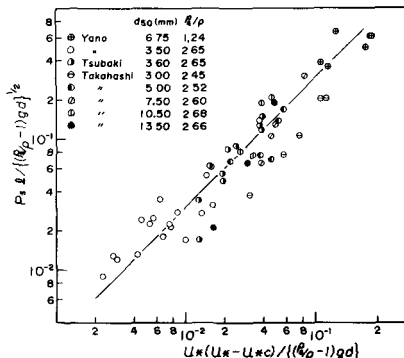


図-3 平均移動速度の無次元量と
無次元挙力の関係

表-1 実験条件

RUN	流量 $Q(\text{L/sec})$	U _c (m/s) $U_c (10^3)$	摩擦係数 f	粒径 d_2 (mm)	
				β_2^2	L (cm)
7	30	0.166	3.73	18.6	
8	35	0.20	4.17	20.9	
9	35	0.25	4.50	22.5	
10	40	0.25	4.69	23.4	

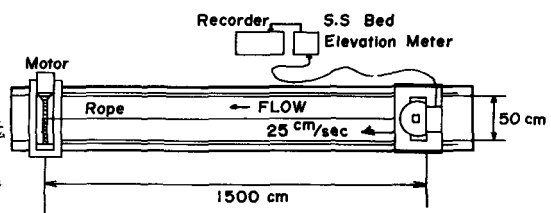


図-4 実験装置

・最小読み取り間隔 0.5 cm である。

分散の増加速度；これらは実験範囲は芦田、道上の領域区分にしたがえば Dune の領域であり、分散の増加速度は(12)まで求められる。 $k_s = 0.05$ として(k_s ：相当粗度)計算した初期河床の U_0 を用いて分散の増加速度を求め、実験値と比較

(左側の)1例が図-5であり両者はよく一致する。他の RUN トフ 11 でも理論は実験値とよく一致し理論の妥当性を示すとともに分散の増加速度は U_0 の増加によって急激に増大することが知られる。理論式は河床波が流れに影響を及ぼさないとして導びかれたものであるが、これが河床波がほぼ安定するまで実測値と一致するのは、はく離に伴う形狀抵抗により掃流力が増加しても河床波の成長に寄与する有効な掃流力が変化しないためであろう。

ピーク波長；初期および安定後のピーク波長の計算値と実測値を比較したのが図-6である。乱れスケールとして上述の 0.126 H を用いた場合に RUN 7 を除いて両者はほぼ一致する。RUN 7 は Ripple の領域にあるとの考えられそれに対する波長 $\lambda_p = 750d$ を用いると実測値に近づく。

パワースペクトル；図-7 は通水初期における河床波のパワースペクトルと理論的に求めたそれを比較したものの一例である。ピークを生ずる波数は理論と実験で一致するが、理論値は実験値に比し高波数側のパワーが高くピーク付近の集中度は低い。これは比較的早い時期に形成されるはく離を全く考慮していないことと、砂河床の凹凸が実際角を越えないと砂自身の特性を本理論にありて考慮していないためである。事實はく離の存在を考慮したコンピュータミュレーションにより算定したスペクトルは実験値と比較的よく一致し、又高波数側における実測スペクトルのこう配は日野によて導びかれた -3 来に一致する。これは河床波の構造を本質的に支配するのは乱れの構造であり、砂自身の特性は単なるフィルター作用として働くにすぎないと結論される。以上理論と実験により、Sand waves が形成され次第に一定のパワースペクトルに発達していく過程が明確に把握された。

参考文献；① 木村昌弘 砂波の発生機構に関する研究 京大修士論文 ② 長野、土屋直上 砂波の発生機構の確率過程との特性について 京防災年報 11.B

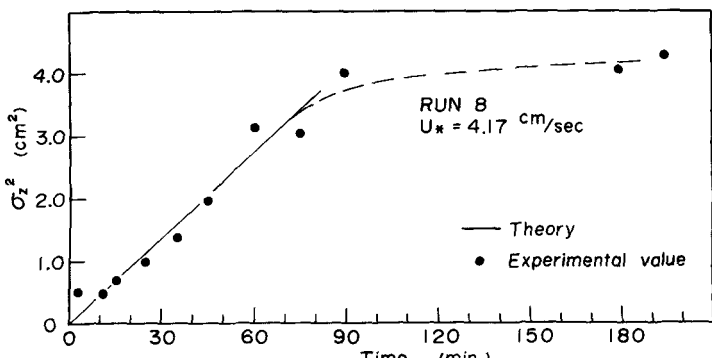


図-5 河床波の分散の時間的変化

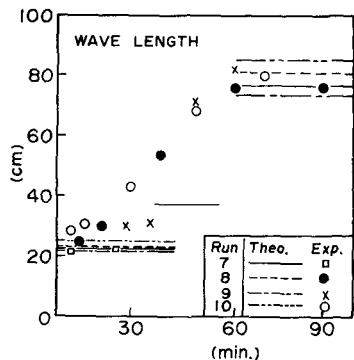


図-6 初期および安定後のピーク波長

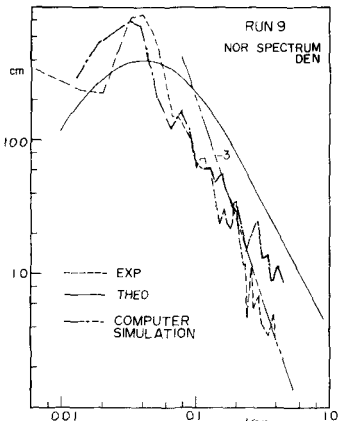


図-7 理論と実験におけるパワースペクトルの比較